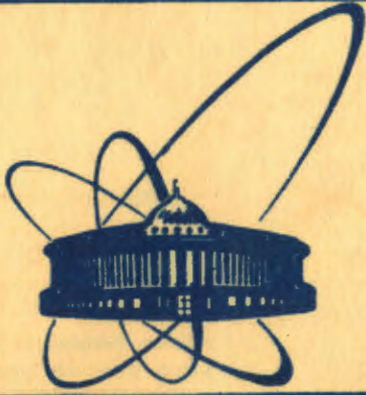


2/IV-84



**СООБЩЕНИЯ  
ОБЪЕДИНЕННОГО  
ИНСТИТУТА  
ЯДЕРНЫХ  
ИССЛЕДОВАНИЙ  
ДУБНА**

1606/84

11-83-875

Д.Бакалов

**ВЫЧИСЛЕНИЕ МАТРИЧНЫХ ЭЛЕМЕНТОВ  
РЕЛЯТИВИСТСКОГО ГАМИЛЬТониАНА  
СИСТЕМЫ ТРЕХ ЧАСТИЦ  
В АДИАБАТИЧЕСКОМ БАЗИСЕ**

**1983**

## 1. ВВЕДЕНИЕ

Среди многочастичных проблем квантовой механики задача трех частиц с электромагнитным взаимодействием занимает особое место /1/. Это - кинематически простейшая из многочастичных задач, обладающая высокой динамической симметрией /2/, к которой применима теория возмущений; кроме того, эта задача имеет большое практическое значение, так как к ней сводится описание многих явлений атомной и молекулярной физики. Актуальность задач трех частиц особенно возросла в связи с исследованиями мюонного катализа ядерного синтеза в смеси изотопов водорода /3/. Для проведения этих исследований необходимо вычислить энергетический спектр  $\mu$ -мезомолекул с высокой точностью, для чего следует учесть релятивистские и ряд других эффектов.

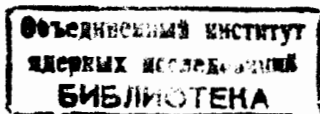
Наиболее точные результаты в этом направлении: кулоновские уровни энергии мезомолекул /4/, релятивистские и прочие поправки к ним и т.д. /5/, получены в рамках адиабатического подхода к задаче трех тел /1/, где поиск решения стационарного трехчастичного уравнения Шредингера ведется в виде разложения по собственным функциям  $\phi(\xi, \eta; R)$  дискретного и непрерывного спектров квантовой задачи двух фиксированных /на расстоянии  $R$ / кулоновских центров /6/. /Здесь  $\xi, 1 \leq \xi \leq \infty$ , и  $\eta, -1 \leq \eta \leq 1$ , - вытянутые сфероидальные координаты /6/ /. Проблема сходимости адиабатического разложения была исследована в работах /7,1/; в частности, было показано, что при описании релятивистских, спиновых и других эффектов в трехчастичных системах можно пренебречь непрерывным спектром задачи двух центров /5/.

Существенным этапом при решении уравнения Шредингера в адиабатическом подходе является вычисление матричных элементов гамильтониана трехчастичной системы в адиабатическом базисе, сводящихся к интегралам следующего вида:

$$I(R) = \int_1^{\infty} d\xi \int_{-1}^1 d\eta f(\xi, \eta; R), \quad /1a/$$

$$f(\xi, \eta; R) = \frac{R^3}{8} (\xi^2 - \eta^2) \frac{\partial^{l_{R^+} + l_{\xi^+} + l_{\eta}} \phi_r(\xi, \eta; R)}{\partial R^{l_R} \partial \xi^{l_{\xi}} \partial \eta^{l_{\eta}}} v(\xi, \eta; R) \times \quad /16/$$

$$\times \frac{\partial^{r_{R^+} + r_{\xi^+} + r_{\eta}} \phi_r(\xi, \eta; R)}{\partial R^{r_R} \partial \xi^{r_{\xi}} \partial \eta^{r_{\eta}}},$$



где  $v(\xi, \eta; R)$  - функция от  $\xi$ ,  $\eta$  и  $R$ , а множитель  $\frac{R^3}{8}(\xi^2 - \eta^2)$  соответствует элементу объема  $dV = d\xi d\eta \frac{R^3}{8}(\xi^2 - \eta^2)$  в вытянутых сфероидальных координатах.

Использовавшиеся ранее методы /8,9/ вычисления /1/ основывались на:

1/ возможности факторизации зависимости  $f$  от переменных  $\xi$  и  $\eta$ , связанной с разделением переменных  $\xi$  и  $\eta$  в задаче двух кулоновских центров /6/, а также с явным видом гамильтониана системы трех частиц с кулоновским взаимодействием /1,6/;

2/ отсутствию особенностей у подинтегральной функции  $f(\xi, \eta, R)$ .

Для операторов, описывающих релятивистские и спиновые эффекты, оба эти условия не выполняются из-за присутствующих у функции  $v(\xi, \eta; R)$  /16/ множителей типа  $1/(\xi \pm \eta)^n$ ,  $2 \leq n \leq 5$ . Условие 1 ограничивает возможность модификации адиабатического базиса /10/.

В данной работе описан алгоритм вычисления интегралов типа описанных в /1/ от функций  $f$  с интегрируемыми особенностями и неразделяющимися переменными  $\xi$  и  $\eta$ , основанный на численном интегрировании с помощью расширенных квадратурных формул Гаусса-Кристоффеля /РКФГК/ /раздел 2/. В разделе 3 кратко описана программная реализация этого алгоритма, ориентированная на ЭВМ CDC-6500 и предназначенная для вычисления матричных элементов релятивистского гамильтониана системы трех частиц /с одинаковыми зарядами двух ядер/ в дискретном секторе спектра адиабатического базиса.

## 2. КУБАТУРНАЯ ФОРМУЛА ДЛЯ ИНТЕГРАЛА /1а/

Рассмотрим более подробно интеграл /1а/. Из общих свойств кулоновских сфероидальных функций дискретного спектра /6/ и явных выражений для усредняемых операторов /5/ следует, что:

1/ в общем случае  $f(\xi, \eta; R)$  имеют интегрируемые особенности в точках  $\xi = 1$ ,  $\eta = \pm 1$ ;

2/  $f(\xi, \eta; R)$  убывают экспоненциально при  $\xi \rightarrow \infty$  или  $\eta \rightarrow 0$ ;

3/  $f(\xi, \eta; R)$  "достаточно" гладки внутри области  $D = \{(\xi, \eta) / \xi \geq 1, |\eta| \leq 1\}$ .

Ввиду этого разобьем область  $D$  на две подобласти  $D_1$  и  $D_2$ :

$$D = D_1 \cup D_2, \quad D_{1,2} = \{(\xi, \eta) / \xi \leq a, |\eta| \leq 1, a > 1\}, \quad /2/$$

и соответственно представим интеграл /1а/ в виде

$$I = I_1 + I_2, \quad /3а/$$

где

$$I_1 = \int_0^{a-1} dx \int_0^1 dy \cdot f_1(x, y),$$

$$f_1(x, y) = f(\xi, \eta) + f(\xi, -\eta), \quad \xi = x + 1, \quad \eta = \text{sgn } \eta \cdot (1 - y) \quad /3б/$$

и

$$I_2 = \int_0^\infty dx e^{-x} \int_0^1 dy \cdot f_2(x, y),$$

$$f_2(x, y) = \frac{e^x}{p_0} [f(\xi, \eta) + f(\xi, -\eta)], \quad \xi = a + \frac{x}{p_0}, \quad \eta = \text{sgn } \eta \cdot (1 - y). \quad /3в/$$

Здесь  $p_0 > 0$  и  $a > 1$  - некие /пока неопределенные/ параметры; зависимость  $I, I_{1,2}, f, f_{1,2}$  от  $R$  подразумевается.

Наша цель - построение кубатурных формул для вычисления интегралов /3б, 3в/ в областях  $D_{1,2}$  соответственно. Рассмотрим отдельно интегралы  $I_1$  и  $I_2$ .

2.1. Для операторов релятивистского взаимодействия подинтегральная функция  $f_1(x, y)$  /3б/ имеет вид

$$f_1(x, y) = P_{n-1}(x, y) \cdot \psi_1(x, y) / (x+y)^n, \quad /4/$$

где  $P_{n-1}$  - однородный многочлен степени  $n-1$ , компенсирующий при  $n > 1$  слишком сильную сингулярность  $1/(x+y)^n$  в точке  $x = y = 0$ , а  $\psi_1(x, y)$  - достаточно гладкая функция в  $D_1$ . Легко убедиться, что в окрестности  $x = 0$  функция

$$F_1(x) = \int_0^1 dy f_1(x, y) \quad /5а/$$

имеет следующий вид /с гладкими  $F_{1R}(x)$  и  $F_{1S}(x)$ /:

$$F_1(x) = \lim_{x \rightarrow 0} F_{1R}(x) + \ln x \cdot F_{1S}(x). \quad /5б/$$

Для численного интегрирования функций с нефакторизуемыми особенностями типа /5б/ Л.Александровым и автором разработан метод построения расширенных квадратурных формул Гаусса-Кристоффеля /РКФГК/. Пусть  $x_i$  и  $w_i$ ,  $i = 1, \dots, N$ , - узлы и веса РКФГК порядка  $N$ , обеспечивающие точность вычисления /5а/  $\epsilon > 0$ :

$$\int_0^{a-1} dx F_1(x) = \sum_{i=1}^N w_i F_1(x_i) + R, \quad |R| \leq \epsilon |I_1|. \quad /6/$$

Для применения /6/ нужны значения  $F_1(x)$  при  $x = x_1, x_2, \dots, x_N$ . Представим  $F_1(x_i)$  /5а/ в виде

$$F_1(x_i) = \int_0^1 dy \frac{1}{(x_i + y)^4} \{(x_i + y)^4 f_1(x_i, y)\}. \quad /7/$$

В силу /4/ и /1б/ множитель в фигурных скобках гладок в  $D_1$ . Для вычисления интеграла /7/ воспользуемся квадратурной формулой Гаусса-Кристоффеля /КФГК/ с весом  $w^{(i)}(y) = 1/(x_i + y)^4$  порядка  $N^{(i)}$ . Обозначая ее узлы и веса через  $y_j^{(i)}, w_j^{(i)}, j = 1, \dots, N^{(i)}$ , имеем

$$F_1(x_i) = \sum_{j \leq N^{(i)}} \tilde{w}_j^{(i)} f_1(x_i, y_j^{(i)}) + R^{(i)}, \quad /8/$$

где  $\tilde{w}_j^{(i)} = w_j^{(i)} \cdot (x_i + y_j^{(i)})^4$ . Таким образом,

$$I_1 = \sum_{i=1}^N w_i \sum_{j \leq N^{(i)}} \tilde{w}_j^{(i)} f_1(x_i, y_j^{(i)}) + R_1. \quad /9а/$$

В практических расчетах /где подходящим оказался выбор  $a = 2/$  для обеспечения относительной точности  $I$  /1а/  $\epsilon = 1.10^{-7}$  достаточными оказались РКФГК порядка  $N = 12/6/$  и КФГК с весами  $w^{(i)}(y) = 1/(x_i + y)^4$  порядка  $N^{(i)} = 12, i = 1, 2, 3, 4$ . КФГК с весом  $1/(x_i + y)^4$  обеспечивает эту точность и при вычислении  $F(x_i)/7/$  для  $i = 5, \dots, 12$ . В силу этого кубатурная формула для вычисления /1б/ приобретает вид

$$I_1 = \sum_{i=1}^{12} w_i \sum_{j=1}^{12} \tilde{w}_j^{(k)} f(x_i, y_j^{(k)}) + R_1, |R_1| < \epsilon |I_1|, k = \min(i, 4). \quad /9б/$$

Узлы и веса для КФГК /6/  $(x_i, w_j)$  и КФГК с весами  $w^{(i)}(y) = 1/(x_i + y)^4, i \leq 4/8/ (y_j^{(i)}, \tilde{w}_j^{(i)})$ , приведены в табл.1,2.

2.2. В пределе  $\xi \rightarrow \infty$  базисные функции дискретного спектра  $\phi_{\ell, r}(\xi, \eta; R)$  убывают экспоненциально как  $e^{-p_{\ell, r}(\xi-1)}$ , где  $p_{\ell, r}$  - термы соответствующих решений задачи двух центров /6,8/, а коэффициентные функции  $v(\xi, \eta; R)$  /1б/ имеют степенной рост. Определим

$$F_2(x) = \int_0^1 dy f_2(x, y). \quad /10/$$

При  $x \rightarrow \infty$   $F_2(x)$  ведет себя следующим образом:

$$F_2(x) = e^{dx} \psi_2(x), \quad d = 1 - \frac{p_{\ell} + p_{r_1}}{p_0}, \quad x \gg 1, \quad /11/$$

Значения узлов  $x_i$  и весов  $w_i, i = 1, \dots, N$ , РКФГК порядка  $N = 12$  с функциями  $w(x) = 1$  и  $w_1(x) = -\ln x \cdot e^{-px}, p = 20$

| i  | $x_i$             | $w_i$             |
|----|-------------------|-------------------|
| 1  | 0,7044598903016-3 | 0,2611461652455-2 |
| 2  | 0,9083277583517-2 | 0,1625490188244-1 |
| 3  | 0,3678809310154-1 | 0,4045823483217-1 |
| 4  | 0,9161994176291-1 | 0,6958155293886-1 |
| 5  | 0,1759900930544+0 | 0,9883970652008-1 |
| 6  | 0,2879543058014+0 | 0,1240449917249+0 |
| 7  | 0,4212501187182+0 | 0,1407864325066+0 |
| 8  | 0,5654631695992+0 | 0,1454001012938+0 |
| 9  | 0,7073657231748+0 | 0,1360304995335+0 |
| 10 | 0,8329124170197+0 | 0,1128879885498+0 |
| 11 | 0,9292226307032+0 | 0,7803801992184-1 |
| 12 | 0,9862644710136+0 | 0,3506610844380-1 |

где  $\psi_2(x)$  растет с  $x$  не быстрее некоторой степени  $x$ . Для вычисления интеграла

$$I_2 = \int_0^{\infty} dx e^{-x} F_2(x) \quad /12/$$

целесообразно использовать КФГК с весом  $e^{-x}/11/$ . Обозначим через  $M, x_i$  и  $w_i, i = 13, 14, \dots, 12 + M$ , ее порядок, узлы и веса соответственно. Порядок  $M$  КФГК с весом  $e^{-x}$ , обеспечивающий требуемую точность вычисления  $I_2$  /3в/, зависит от величины  $d/11/$ ; на практике использовались КФГК порядка  $M = 8, 12$  и  $15/11/$ . По-

скольку в области  $D_2$  значения  $\xi = a + \frac{x_M + i}{p_0}$  /3в/ далеки от сингу-

лярных точек  $(\xi, \eta) = (1, \pm 1)$ , для вычисления  $F_2(x)$  /10/ подходящей является КФГК с весом  $w^{(4)}(y)$  /см. п.2.1.7. Таким образом, для вычисления  $I_2$  получается следующая кубатурная формула:

$$I_2 = \sum_{i=13}^{M+12} w_i \sum_{j=1}^{12} \tilde{w}_j^{(4)} f_2(x_i, y_j^{(4)}) + R_2, |R_2| < \epsilon |I_2|. \quad /13/$$

2.3. Объединяя результаты пунктов 2.1 и 2.2, получаем кубатурную формулу для вычисления интеграла  $I$  /1а/:

$$I = \sum_{i=1}^{M+12} \sum_{j=1}^{12} w_{ij} f_{ij} + R, \quad |R| < \epsilon \cdot |I|, \quad /14а/$$

где

$$w_{ij} = w_i \tilde{w}_j^{(k)}, \quad k = \min(i, 4), \quad /14б/$$

Таблица 2

Значения узлов  $y_j^{(i)}$  и весов  $w_j^{(i)}, j=1, \dots, 12$ , квадратурных формул /8/ Гаусса-Кристоффеля с  $w^{(i)}(y) = 1/(x_i + y)^4$ ,  $i = 1, 2, 3, 4$

| j  | $y_j^{(i)}$       | $w_j^{(i)}$       |
|----|-------------------|-------------------|
| 1  | 0,2172671503245-3 | 0,6464436592859-3 |
| 2  | 0,2358231261626-2 | 0,5061461415809-2 |
| 3  | 0,1586866873617-1 | 0,2486310429823-1 |
| 4  | 0,5492095691185-1 | 0,5358325653046-1 |
| 5  | 0,1229783631059+0 | 0,8229864694847-1 |
| 6  | 0,2187761568151+0 | 0,1087842344779+0 |
| 7  | 0,3391797929401+0 | 0,1311389018478+0 |
| 8  | 0,4787706443149+0 | 0,1465985051372+0 |
| 9  | 0,6287350549098+0 | 0,1510843875373+0 |
| 10 | 0,7754939091077+0 | 0,1392295852441+0 |
| 11 | 0,8999969706692+0 | 0,1059290851159+0 |
| 12 | 0,9799427525824+0 | 0,5078238790982-1 |
| I  | 0,1352097272905-2 | 0,3687525499450-2 |
| 2  | 0,8930643468613-2 | 0,1271281849773-1 |
| 3  | 0,2988427741035-1 | 0,3077748577380-1 |
| 4  | 0,7682452308872-1 | 0,5588105837243-1 |
| 5  | 0,1422146561358+0 | 0,8278177864317-1 |
| 6  | 0,2378955768707+0 | 0,1081115539971+0 |
| 7  | 0,3571000607679+0 | 0,1294113631013+0 |
| 8  | 0,4944248122354+0 | 0,1437926574160+0 |
| 9  | 0,6410701951876+0 | 0,1472877049947+0 |
| 10 | 0,7830959909665+0 | 0,1348744187643+0 |
| 11 | 0,9039528682765+0 | 0,1020062796829+0 |
| 12 | 0,9807777904393+0 | 0,4869535517723-1 |
| I  | 0,2581530151521-2 | 0,6756032558217-2 |
| 2  | 0,1471919847803-1 | 0,1820546141553-1 |
| 3  | 0,4067119936515-1 | 0,3460731298082-1 |
| 4  | 0,8561944606299-1 | 0,5599101830080-1 |
| 5  | 0,1536354390964+0 | 0,8030051209976-1 |
| 6  | 0,2462556364222+0 | 0,1047132974792+0 |
| 7  | 0,3821024361532+0 | 0,1262338201524+0 |
| 8  | 0,4966282667562+0 | 0,1414373098830+0 |
| 9  | 0,6414363157169+0 | 0,1459802400068+0 |
| 10 | 0,7832591717797+0 | 0,1345381546756+0 |
| 11 | 0,9035200514949+0 | 0,1022642991634+0 |
| 12 | 0,9806607381238+0 | 0,4897254166956-1 |
| I  | 0,3909555796529-2 | 0,1012357191646-1 |
| 2  | 0,2135670649699-1 | 0,2522626151437-1 |
| 3  | 0,5542618007203-1 | 0,4346687749701-1 |
| 4  | 0,1092718753069+0 | 0,6460309060988-1 |
| 5  | 0,1850629587687+0 | 0,8701077976891-1 |
| 6  | 0,2829543035743+0 | 0,1083929372727+0 |
| 7  | 0,4006428951187+0 | 0,1261427355227+0 |
| 8  | 0,5330235457674+0 | 0,1372198939223+0 |
| 9  | 0,6716274361815+0 | 0,1379111245994+0 |
| 10 | 0,8039786042053+0 | 0,1240238048218+0 |
| 11 | 0,9136854158423+0 | 0,9230050119876-1 |
| 12 | 0,9828223140582+0 | 0,4357842133486-1 |

$$f_{ij} = \begin{cases} f_1(x_i, y_j^{(k)}), & i \leq 12, k = \min(i, 4), \\ f_2(x_i, y_j^{(4)}), & i > 12, \end{cases} \quad /14в/$$

или в терминах исходной подынтегральной функции  $f(\xi, \eta; R)$  /1а/:

$$f_{ij} = \begin{cases} [f(\xi, \eta; R) + f(\xi, -\eta; R)] |_{\xi = x_i + 1, \eta = 1 - y_j^{(k)}}, & k = \min(i, 4); 1 \leq i \leq 12; \\ \frac{e^{-p_0(\xi-a)}}{p_0} [f(\xi, \eta; R) + f(\xi, -\eta; R)] |_{\xi = 2 + \frac{x_i}{p_0}, \eta = 1 - y_j^{(4)}}, & i > 12. \end{cases}$$

### 3. ПАКЕТ ФОРТРАННЫХ ПРОГРАММ ДЛЯ ВЫЧИСЛЕНИЯ НА ЭВМ МАТРИЧНЫХ ЭЛЕМЕНТОВ В АДИАБАТИЧЕСКОМ БАЗИСЕ

Пакет программ MAIN на языке фортран предназначен для группового счета любого числа матричных элементов  $p_s \geq 1$  операторов в адиабатическом базисе /между первыми  $S \leq 20$  базисными функциями дискретного спектра задачи фиксированных кулоновских центров для значений параметра  $R, R = 0, 1 / 0, 1 / 20, 0/$ . MAIN реализует описанный в разделе 2 алгоритм численного интегрирования интегралов типа /1/ с помощью кубатурной формулы /14/.

#### 3.1. Режим работы MAIN

Предусмотрена возможность выбора режима работы MAIN по нескольким признакам.

А. Задание точности параметром  $N_{pr}$ . Минимальный порядок  $M$  КФГК /13/, обеспечивающий требуемую точность  $\epsilon$  вычисления  $I_2 /12/$ , зависит от величины  $d /11/$ . При групповом вычислении нескольких интегралов типа /12/ с разными  $p_l$  и  $p_r$ ,  $d$  меняется в пределах  $1 - 2 \cdot p_{max} / p_0 \leq d \leq 1 - 2 \cdot p_{min} / p_0$ , где  $p_{min}$  и  $p_{max}$  - минимальный и максимальный среди встречающихся термов. При подходящем выборе параметра  $p_0 /3в/$  можно достичь требуемой точности вычисления  $I_2$  при всех  $p, p_{min} \leq p \leq p_{max}$ , с минимальным  $M$ . В зависимости от значения управляющего параметра  $N_{pr} = 1$  или  $N_{pr} = 2$   $p_0$  и  $M$  выбираются так, чтобы обеспечить точность вычисления  $I /14а/ \epsilon = 10^{-3}$  или  $10^{-7}$  соответственно. Время счета при  $N_{pr} = 1$  в 2 раза меньше, чем при  $N_{pr} = 2$ .

Б. Выбор множества базисных функций. Кроме полного варианта N20 программы MAIN, в котором матричные элементы операторов вычисляются между первыми 20 базисными функциями, предусмотрены упрощенные варианты, учитывающие вклад только первых 8/N8/ или 2/N2/ функций адиабатического базиса. В ряде случаев учет вклада ограниченных множеств базисных функций оправдано /1,5/. Упрощенные варианты MAIN занимают существенно меньшую оперативную память; время счета убывает как S<sup>2</sup>. Замена вариантов осуществляется с помощью программы UPDATE.

В. Выбор значений параметра R. Множество значений параметра R, для которых вычисляются матричные элементы /1/

$$R = R_{in}, R_{in} + \delta R, R_{in} + 2 \cdot \delta R, \dots, R_{fin}, \quad /15/$$

определяется тремя целочисленными управляющими параметрами R<sub>i</sub>, ΔR, R<sub>f</sub>: R<sub>in</sub> = R<sub>i</sub>/10, R<sub>fin</sub> = R<sub>f</sub>/10, δR = ΔR/10; 1 ≤ R<sub>i,f</sub> ≤ 200, ΔR ≥ 1. В области изменения R, где зависимость вычисляемых матричных элементов I(R) /1/ от R достаточно гладкая, можно использовать ΔR > 1, восстанавливая значения матричных элементов в пропущенных точках R интерполяцией; при этом время счета сократится в ΔR раз.

### 3.2. Задание явного вида усредняемых операторов

Пакет программ MAIN предназначен для вычисления матричных элементов операторов Y следующего общего вида:

$$Y = a_s \cdot \sum_{i_d=1}^{n_d} Y_{i_d}, \quad /16a/$$

$$Y_{i_d} = \frac{\partial^{l_R + l_\xi + l_\eta}}{\partial R^{l_R} \partial \xi^{l_\xi} \partial \eta^{l_\eta}} \{ a_d \frac{R^{n_R} (\xi^2 - 1)^{\frac{n_\xi}{2}} (1 - \eta^2)^{\frac{n_\eta}{2}}}{(\xi - \eta)^{n_-} (\xi + \eta)^{n_+}} v(\xi, \eta; R) \} \times \quad /16b/$$

$$\times \frac{\partial^{r_R + r_\xi + r_\eta}}{\partial R^{r_R} \partial \xi^{r_\xi} \partial \eta^{r_\eta}}.$$

Стрелки над символами дифференциальных операторов в /16b/, направленные влево /направо/, означают, что при вычислении матричных элементов типа /1/ выражение в фигурных скобках должно быть умножено на соответствующие производные от функций в обкладках φ<sub>l</sub>(ξ, η; R) / φ<sub>r</sub>(ξ, η; R) /. a<sub>s</sub> и a<sub>d</sub> - целочисленные коэффициенты. Множители у функции v(ξ, η; R) в скобках выделены для упрощения записи v(ξ, η; R). Для большинства Y функция v(ξ, η; R) имеет вид

$$v(\xi, \eta; R) = \sum_{i=1}^n a_i \xi^{j_i} \eta^{k_i}. \quad /17/$$

В данном варианте программы MAIN на параметры в формулах /16/ и /17/ наложены следующие ограничения:

$$\begin{aligned} -9999 \leq a_s, a_d \leq 99999; \quad 1 \leq n_d \leq 36; \quad n_t = 1; \\ 0 \leq l_R, l_\xi, l_\eta, r_R, r_\xi, r_\eta \leq 2; \quad 0 \leq l_R + l_\xi + l_\eta \leq 2; \quad r_R + r_\xi + r_\eta \leq 2; \\ -9 \leq n_R \leq 10; \quad 0 \leq n_\pm \leq 5, \quad 1 \leq n \leq 32, \\ -999 \leq a_i \leq 9999; \quad 0 \leq j_i, k_i \leq 10. \end{aligned} \quad /18/$$

Ввод информации о явном виде данного оператора Y /16/ осуществляется с помощью перфокарт.

Карта № 1, содержащая /по формату /1X, A2, 7X, 315//

N, a<sub>s</sub>, n<sub>d</sub>, Δm. /19a/

Здесь N - "имя" оператора Y из двух буквенных или цифровых символов. При неотрицательном Δm вычисляются матричные элементы оператора Y лишь между функциями φ<sub>l</sub> и φ<sub>r</sub>, модуль разности магнитных квантовых чисел /6/ m<sub>l</sub> и m<sub>r</sub> которых равен Δm; при Δm = -1 правило отбора по Δm пренебрегают.

Следуют n<sub>d</sub> однотипных групп карт с информацией о i<sub>d</sub>, i<sub>d</sub> = 1, 2, ..., n<sub>d</sub>;

Карта № 2.1, содержащая /по формату /10X, 915//

k<sub>f</sub>, a<sub>d</sub>, c<sub>R</sub>, l<sub>R</sub>, l<sub>ξ</sub>, l<sub>η</sub>, r<sub>R</sub>, r<sub>ξ</sub>, r<sub>η</sub>, n<sub>t</sub>. /19b/

Если v(ξ, η; R) имеет вид /17/, k<sub>f</sub> = 0; функции v(ξ, η; R), которые имеют более сложный вид, нумеруются индексом k<sub>f</sub> = 1, 2, ... и определяются в пользовательской подпрограмме F со следующей структурой:

```
FUNCTION F (ITYP, X, Y)
COMMON /TERM/ R, EMPTY (180)
GOTO (1,2,...), ITYP
1 CONTINUE
...
F=...
2 CONTINUE
...
F=...
RETURN
...
END
```

При этом подразумевается отождествление k<sub>f</sub> → ITYP, ξ → X, η → Y, R → R.

Карта № 2.2, содержащая  $n, n_\xi, n_\eta, n_-, n_+, a_1, j_1, k_1, a_2, j_2, k_2, \dots, a_n, j_n, k_n$  по формату (6X,5I2,8(I4,2I2))/(16X,8(I4,2I2)). Если для данного  $Y_{i_d} |k_f > 0$ , следует положить  $n = a_1 = 1, j_1 = k_1 = 0$ .

### 3.3. Ввод информации в MAIN

А. Для работы MAIN необходимы карты со следующими данными:

- 1/ значения управляющих параметров /см.п.3.1/  $R_i, R_f, \Delta R, N_{pr}$  по формату (10X, 4I5);
- 2/ число усредняемых операторов  $n_s$  /по тому же формату/;
- 3/ информация о явном виде усредняемых операторов в указанном порядке /см. также п.3.2/.

Б. Необходимо также присоединение /через TAPE 2/ к файлу с численными значениями параболических квантовых чисел  $\pi_i, n_{1i}, n_{2i}$  и  $m_i$  всех 20 базисных функций,  $i = 1, \dots, 20$  /6/, и со значениями соответствующих им термов  $p_i(R)$  констант разделения  $\lambda_i(R)$  и нормировочных коэффициентов  $N_i(R)$ , их первых и вторых производных по  $R$ /для всех значений  $R = 0, 1/0, 1/20, 0/$ . Этот файл состоит из 201 бесформатной записи:

- 1/ запись из 80 целых чисел  $\pi_1, n_{11}, n_{21}, m_1, \pi_2, n_{12}, n_{22},$

$$m_2, \dots, m_{20}; \pi_i = \begin{cases} 0, & p_i = g \\ 1, & p_i = u \end{cases}$$

- 2/ 200 записей из 181 действительного числа /по одной для каждого  $R = 0.1. 0.2. \dots. 20.0/$ :

$R, p_1(R), p_1'(R), p_1''(R), \lambda_1(R), \lambda_1'(R), \lambda_1''(R), N_1(R), N_1'(R), N_1''(R),$   
 $p_2(R), p_2'(R), \dots, N_2''(R), p_3(R), \dots, N_{20}''(R).$

### 3.4. Вывод информации

Для описания формы, в которой выводятся вычисленные матричные элементы, введем некоторые обозначения.

Матричный элемент  $\langle Y \rangle$  оператора  $Y$  /16/ является с-числом лишь в случае  $l_R = r_R = 0$ ; в общем случае этот матричный элемент - оператор в пространстве функций, зависящих от  $R$ :

$$\langle Y \rangle = \sum_{\lambda=0}^{l_R} \sum_{\rho=0}^{r_R} \frac{\partial^\lambda}{\partial R^\lambda} Y_{\lambda\rho}(R) \frac{\partial^\rho}{\partial R^\rho} \quad /20/$$

Здесь  $Y_{\lambda\rho}(R)$  - числовая матрица. Определим

$$Q = \begin{cases} r_R + 1, & l_R = 0, \\ 3 \cdot (l_R + 1), & l_R > 0. \end{cases}$$

Сопоставим паре индексов  $(\lambda, \rho), 0 \leq \lambda \leq l_R, 0 \leq \rho \leq r_R$ , индекс  $q, 1 \leq q \leq Q$ , следующим образом:  $(\lambda, \rho) \rightarrow q = 3 \cdot l_R + r_R + 1$ , переобозначим  $Y_q(R) \equiv Y_{\lambda\rho}(R)$  и восстановим у  $Y_q(R)$  индексы  $l$  и  $r$  базисных функций  $\phi_l$  и  $\phi_r$ , с помощью которых вычислен матричный эле-

мент  $Y_q(R) /1/$ :  $Y_q(R) = Y_q l_r(R)$ . Численные результаты, полученные при работе MAIN, выводятся на TAPE 3 в виде /однотипных при всех значениях  $R$  / групп бесформатных записей.

Запись 1:  $R, n_s$ . Далее следуют  $n_s$  пар записей со следующим содержанием:

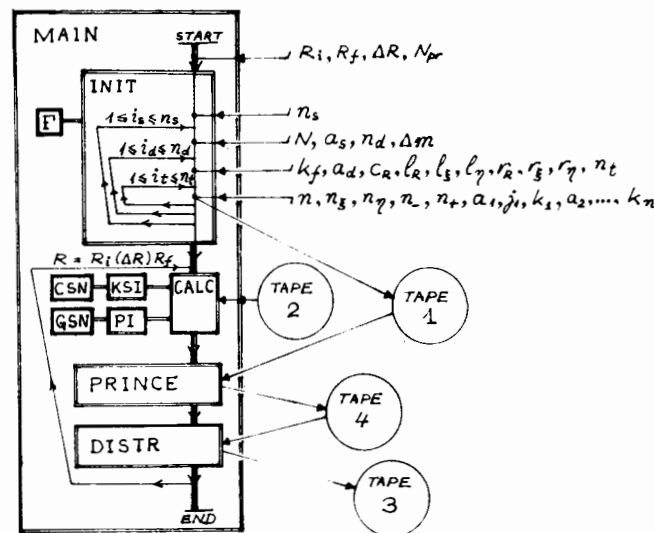
Запись 2.1, состоящая из 6 целых и одной холерической констант:  $i_s, Q, S, n_s, l_R, r_R, N$ .

Запись 2.2 - из  $Q \cdot S(S+1)/2+1$  действительных чисел:

$R, Y_{111}, Y_{112}, \dots, Y_{11S}, Y_{122}, Y_{123}, \dots, Y_{12S}, Y_{133}, \dots, Y_{1SS}, Y_{211}, Y_{212}, \dots, Y_{QSS}$ . Число записей на TAPE 3 при любом  $R: 2n_s + 1$ .

### 3.5. Структура пакета программ

Основные функции подпрограмм пакета MAIN, блок-схема которого приведена на рисунке, сводятся к следующему. Главная программа MAIN организует вычисления для последовательности значений  $R$  из множества /15/. Подпрограмма INIT обрабатывает вводимую в закодированном виде информацию о явном виде усредняемых операторов. В подпрограмме PRINCE интегралы /1/ вычисляются по кубатурной формуле /14/. Подпрограмма DISTR выводит результаты на TAPE 3. Подпрограмма CALC организует вычисление значений базисных функций в узлах кубатурной формулы /14/.



Блок-схема пакета программ MAIN, предназначенного для вычисления матричных элементов операторов в адиабатическом базисе.

В данном варианте MAIN базисные функции  $\phi_{\ell,r}$  вычисляются по формуле /6/  $\phi_{\ell}(\xi, \eta; R) = N_{\ell}(R) P_{\ell}(\xi; R) \Xi_{\ell}(\eta; R), \dots$ , где  $N_{\ell,r}(R)$ ,  $P_{\ell,r}(\xi; R)$  и  $\Xi_{\ell,r}(\eta; R)$  - нормировочные коэффициенты, радиальные и угловые кулоновские сфероидальные функции /6/. Функции  $P_{\ell,r}(\xi; R)$  и  $\Xi_{\ell,r}(\eta; R)$  вычисляются по подпрограммам GSN, PI, CSN и KSI согласно алгоритмам /6,8/ с использованием приведенных в /8/ численных значений термов  $r_{\ell,r}$  и констант разделения  $\lambda_{\ell,r}$  /6/.

#### 4. ЗАКЛЮЧЕНИЕ

##### 4.1. Обсуждение результатов

С помощью пакета программ MAIN, реализующего изложенный в разделе 2 алгоритм численного интегрирования сфероидальных интегралов типа /1/, в адиабатическом базисе с единичными зарядами кулоновских центров с точностью  $10^{-5}$  были вычислены матричные элементы операторов, описывающих релятивистские и спиновые эффекты, эффекты электромагнитной структуры ядер и экранировки внешними электронами и взаимодействие с внешними полями, необходимые для расчета поправок к уровням энергии мезомолекул изотопов водорода с точностью  $10^{-3}$  эВ.

Сравнение MAIN с существующими методами вычисления матричных элементов в адиабатическом базисе /2,5,8/ показывает, что:

1. Область применения MAIN существенно расширена в результате включения важных с физической точки зрения операторов с интегрируемыми сингулярностями и неразделяющимися переменными.

2. Точность вычисления MAIN совпадает с точностью, полученной в /2/ и /8/ в тех случаях, где сравнение возможно.

3. Оперативная память ЭВМ, занимаемая MAIN, примерно та же, что и в /2,8/; по быстрдействию MAIN превосходит результаты /2,8/ в 5-10 раз и данные /5/ в ~100 раз.

##### 4.2. Возможности усовершенствования и обобщения метода и перспективы его дальнейшего применения

Алгоритм вычисления интегралов /1/, изложенный в разделе 2, может, вообще говоря, быть усовершенствован с целью сокращения и времени счета, и объема занимаемой оперативной памяти ЭВМ. Интересными являются возможности замены РКФГК /6/ порядка 12 и КФГК /12/ порядка M единой РКФГК порядка  $N < M + 12$  и четырех использованных нами для интегрирования по переменной  $y$  /7/ КФГК /8/ порядка 12 единой РКФГК несколько высшего порядка. Принципиально новым решением было бы использование кубатурной формулы типа /14/, не связанной с КФГК для одномерных интегралов /5/, /7/, /12/ по переменным  $x$  и  $y$ .

Для подынтегральной функции  $f_1(x, y)$  /5а/ с особенностями отличного от /4/ типа необходимо только заменить /8/ и /6/ на КФГК и РКФГК, соответствующие новому типу сингулярностей. Таким образом были вычислены эффективные потенциалы поляризации вакуума в адиабатическом представлении, для которых /см. /4/ /12/:  $f_1(x, y) = \psi_{1A}(x, y) + \ln(x+y) \cdot \phi_{1B}(x, y)$ ,  $0 < |\psi_{1A,B}(0,0)| < \infty$ .

Вычисление уровней энергии мезомолекул изотопов водорода далеко не исчерпывает круга актуальных физических задач, решаемых в адиабатическом подходе с использованием кулоновского сфероидального базиса /1/: достаточно упомянуть роль мезомолекулярных ионов  $He_{\mu}^+$ ,  $He_{\mu}$  в мюонном катализе ядерного синтеза /3/. Адаптация MAIN для ядер с неравными зарядами не составляет труда.

Интерес вызывает использование различных модификаций адиабатического базиса /10/ для решения широкого класса проблем квантовой электродинамики и хромодинамики. При соответствующих изменениях в подпрограмме CALC /см. пункт 3.5/, а также в КФГК /8/ и РКФГК /6/ пакет программ MAIN может быть с успехом применен для вычисления матричных элементов гамильтониана и в этих случаях.

В заключение автор выражает глубокую благодарность Л.Александрову, С.И.Виницкому, Д.Караджову, В.С.Мележику, Л.И.Пономареву, Т.П.Пузыниной, И.В.Пузынину, Л.Н.Сомову и М.П.Файфману за содействие и помощь на всех этапах работы.

#### ЛИТЕРАТУРА

1. Виницкий С.И., Пономарев Л.И. ЭЧАЯ, 1982, т.13, вып.6, с.1336.
2. Трускова Н.Ф. ЯФ, 1978, т.28, с.850.
3. Ponomarev L.I. Proc.of the X European Conference on Controlled Fusion and Plasma Physics. Moscow, 1981, vol.11, p.66.
4. Виницкий С.И. и др. ЖЭТФ, 1980, т.74, с.698.
5. Бакалов Д.Д., Виницкий С.И., Мележик В.С. ЖЭТФ, 1980, т.79, с.1629.
6. Комаров И.В., Пономарев Л.И., Славянов С.Ю. Сфероидальные и кулоновские сфероидальные функции. "Наука", М., 1976.
7. Виницкий С.И., Мележик В.С., Пономарев Л.И. ЖЭТФ, 1982, т.82, с.670.
8. Пономарев Л.И., Пузынина Т.П. ОИЯИ, Р4-5040, Дубна, 1970.
9. Трускова Н.Ф. ОИЯИ, Р11-11218, Дубна, 1978.
10. Matveenko A.V. Phys.Lett., 1983, vol.129B, p.11.
11. Справочник по специальным функциям /под ред. М.Абрамовича и И.Стиган/. "Наука", М., 1979.
12. Fullerton L.W., Rinker G.A. Phys.Rev., 1976, vol.A13, p.1283.

Рукопись поступила в издательский отдел  
22 декабря 1983 года



Бакалов Д.

11-83-875

Вычисление матричных элементов релятивистского гамильтониана системы трех частиц в адиабатическом базисе

Матричные элементы релятивистского гамильтониана системы трех частиц в адиабатическом базисе сводятся к двумерным интегралам от функций с интегрируемыми особенностями в полюсах сферической координатной системы. Для вычисления таких интегралов построена кубатурная формула, обеспечивающая относительную точность  $\epsilon \leq 10^{-5}$  вычисления матричных элементов по волновым функциям дискретного спектра задачи двух центров. Приведена таблица со значениями узлов и весов кубатурной формулы, дано подробное описание пакета программ MAIN для вычисления матричных элементов операторов в адиабатическом базисе, соответствующем единичным зарядам кулоновских центров. Программа MAIN написана на языке фортран и ориентирована на ЭВМ CDC-6500. С помощью пакета программ MAIN с относительной точностью  $\epsilon \leq 10^{-5}$  вычислены матричные элементы операторов, описывающих релятивистские эффекты в мезомолекулах изотопов водорода.

Работа выполнена в Лаборатории вычислительной техники и автоматизации ОИЯИ.

Сообщение Объединенного института ядерных исследований. Дубна 1983

Bakalov D.

11-83-875

Calculation of Matrix Elements of the Three-Body System Relativistic Hamiltonian in Adiabatic Representation

Matrix elements of the three-body relativistic hamiltonian in adiabatic representation reduce to two-dimensional integrals of functions with integrable singularities in poles of the spheroidal coordinate system. A cubature formula for calculating the integrals is obtained, which provides relative accuracy  $\epsilon \leq 10^{-5}$  for calculating matrix elements over wave functions of discrete spectrum of two-centre problem. The table is given which presents points and weights of cubature formula. A detailed description of MAIN program for calculation of matrix elements of operators in adiabatic representation is given. MAIN program is written in FORTRAN language and is oriented for CDC-6500 computer. Matrix elements of operators describing relativistic effects in mesic molecules of hydrogen isotopes are calculated by means of MAIN program with  $\epsilon \leq 10^{-5}$  relative accuracy.

The investigation has been performed at the Laboratory of Computing Techniques and Automation, JINR.

Communication of the Joint Institute for Nuclear Research, Dubna 1983

Перевод О.С.Виноградовой